

# On the Asymptotic Properties of Debiased Machine Learning Estimators

Amilcar Velez  
Cornell University

XLIII Encuentro de Economistas del BCRP

Octubre 22, 2025

# Introducción

- Parámetro de interés  $\theta_0$  satisface

$$E[m(W, \theta_0, \eta_0(X))] = 0$$

- $W, X$ : vectores aleatorios (datos)
- $\eta_0(\cdot)$ : función molesta de características
- Estudio estimadores basados en DML (debiased machine learning)
  - DML: metodología para estimar  $\theta_0$  cuando  $\eta_0(\cdot)$  se estima usando *machine learning*



# Motivacion

- DML1 y DML2
  - ambos dividen los datos de manera aleatoria en K bloques para estimar  $\eta_0$
  - Difieren en como estimar  $\theta_0$  usando las estimaciones de  $\eta_0$
- La teoria asintotica existente (donde K es fijo mientras  $n \rightarrow \infty$ ) predice:
  - $\text{DML1} \sim \text{DML2}$
- Simulaciones :
  - $\text{DML2} \succeq \text{DML1}$

(Q1) Por que deberíamos usar DML2?

(Q2) Como deberíamos elegir K para DML2?

# Este paper:

- Estudia las propiedades de DML1 y DML2 bajo una nueva teoria asintotica

Considero secuencias  $K_n$  (e.g.,  $K_n = 5$ ,  $K_n \propto \sqrt{n}$  ,  $K_n = n$  )

Bajo esta nueva teoria asintotica explico las diferencias encontradas en simulaciones

## Q1: Por que deberíamos usar DML2 ?

- DML2  $\geq$  DML1 en términos de bias, ECM, e inferencia
- DML2 es robusto a la elección de K

## Q2: Como deberíamos elegir K para DML2? (bajo ciertas condiciones)

- $K = n$  minimiza el bias y ECM asintótico para DML2

# Outline

- Setup y notación
- Simulaciones
- Resultados principales
  - Por que y cuando  $DML2 \succeq DML1$
  - Como seleccionar K para DML2
- Conclusiones

# Modelo Econométrico

- El parámetro de interés  $\theta \in \mathbb{R}$  satisface :

$$E[m(W, \theta_0, \eta_0(X))] = 0$$

donde

$$m(W, \theta, \eta) = \psi^b(W, \eta) - \psi^a(W, \eta) \theta$$

$$E[\partial_\eta m(W, \theta_0, \eta_0(X)) | X] = \mathbf{0} \dots \text{(Condición de ortogonalidad de Neyman)}$$

- Ejemplos estudiados en la literatura:

- Average treatment effect (ATE)
  - Robins et al. (1994): augmented inverse probability weighted (AIPW) estimators
- Average treatment effect on the treated in difference-in-differences (ATT-DID)
  - Sant'Anna and Zhao (2020): double-robust (DR) estimator
- Local average treatment effect (LATE) with covariates
  - Tan (2006), Chernozhukov et al. (2018), Singh and Sun (2024): DR and DML estimator

# Problema de estimación

- $E[m(W, \theta_0, \eta_0(X))] = \mathbf{0}$  y  $m(W, \theta, \eta) = \psi^b(W, \eta) - \psi^a(W, \eta)$   $\theta$

- Objetivo: estimador  $\theta_0 \in \mathbf{R}$  usando una muestra aleatoria  $\{W_i : 1 \leq i \leq n\}$

Setup implica

$$\theta_0 = \frac{E[\psi^b(W, \eta_0(X))]}{E[\psi^a(W, \eta_0(X))]}$$

- Un estimador ideal

donde  $\eta_i = \eta_0(X_i)$

$$\hat{\theta}_n^* = \frac{\sum_{i=1}^n \psi^b(W_i, \eta_i)}{\sum_{i=1}^n \psi^a(W_i, \eta_i)}$$

# DML: 1era-etapa usa sample-splitting

1. Dividimos la muestra aleatoriamente en K bloques/celdas de igual tamaño



2. Usamos todos los bloques menos uno para estimar la función molesta  $\eta_0$  y predecimos en el bloque restante

Cell 1:  $\hat{\eta}_i = \hat{\eta}_1(X_i)$  Estimar  $\eta_0$  aqui

3. Repetimos el proceso para todos los bloques(ejemplo K=5)

Cell 2:  $\hat{\eta}_i = \hat{\eta}_2(X_i)$

Cell 3:  $\hat{\eta}_i = \hat{\eta}_3(X_i)$

Cell 4:  $\hat{\eta}_i = \hat{\eta}_4(X_i)$

Cell 5:  $\hat{\eta}_i = \hat{\eta}_5(X_i)$

# DML: 2da-etapa

DML1: promedio de estimadores  
sample-splitting

$$\widehat{\boldsymbol{\theta}}_{n,1}(K) = \frac{1}{K} \sum_{k=1}^K \left( \frac{\sum_{i \in \text{cell } k} \boldsymbol{\psi}^b(W_i, \widehat{\boldsymbol{\eta}}_i)}{\sum_{i \in \text{cell } k} \boldsymbol{\psi}^a(W_i, \widehat{\boldsymbol{\eta}}_i)} \right)$$


Estimador  $\tilde{\boldsymbol{\theta}}_k$  resuelve  
estimacion en cell k

$$\sum_{i \in \text{cell } k} m(W_i, \tilde{\boldsymbol{\theta}}_k, \widehat{\eta}_i) = 0$$

DML2: estimador de promedio de  
modelos

$$\widehat{\boldsymbol{\theta}}_{n,2}(K) = \frac{\sum_{k=1}^K \sum_{i \in \text{cell } k} \boldsymbol{\psi}^b(W_i, \widehat{\boldsymbol{\eta}}_i)}{\sum_{k=1}^K \sum_{i \in \text{cell } k} \boldsymbol{\psi}^a(W_i, \widehat{\boldsymbol{\eta}}_i)}$$


Similar al estimador ideal  
pero reemplaza  $\boldsymbol{\eta}_i$  por  $\widehat{\boldsymbol{\eta}}_i$

$$\sum_{k=1}^K \sum_{i \in \text{cell } k} m(W_i, \widehat{\boldsymbol{\theta}}_{n,2}(K), \widehat{\eta}_i) = 0$$

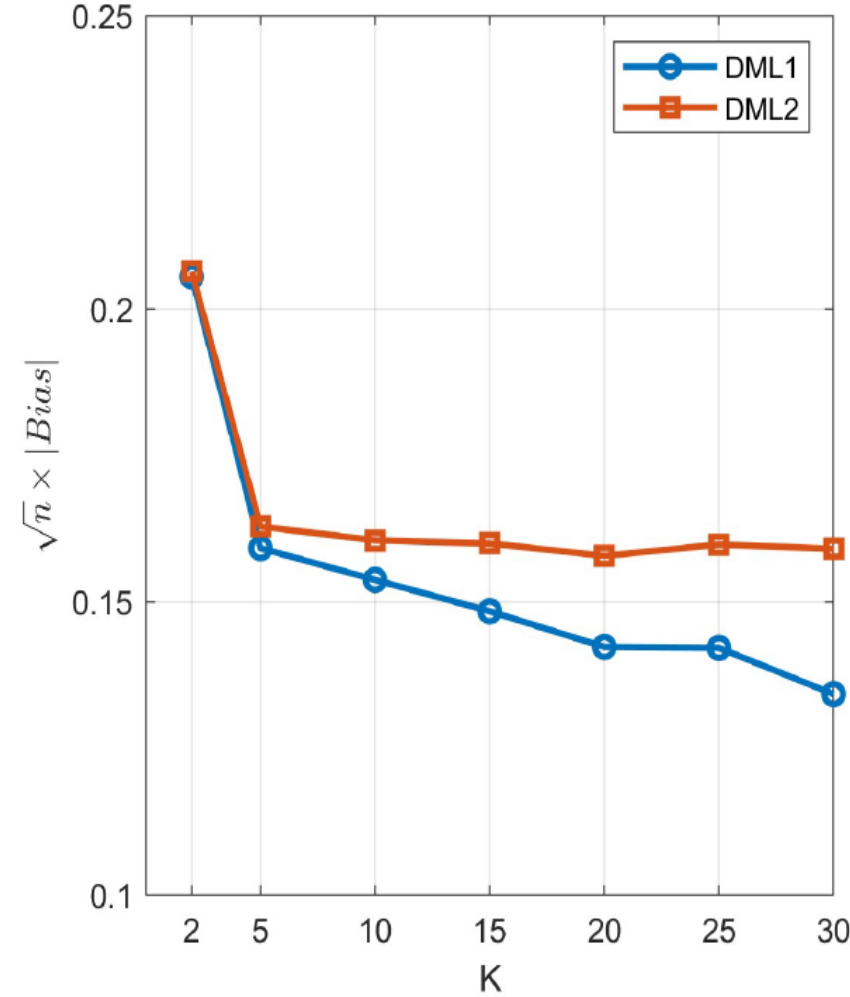
# Comentarios

1. Teoría asintótica existente (donde  $K$  es fijo mientras  $n \rightarrow \infty$ ):
  - Predice  $\text{DML1} \sim \text{DML2}$ 
    - $n^{1/2}(\hat{\boldsymbol{\theta}}_{n,j}(K) - \boldsymbol{\theta}_0) \xrightarrow{d} N(0, \sigma^2)$  para  $j = 1, 2$
  - Chernozhukov et al (2018) propuso intervalos de confianza (IC)
    - 95%-IC:  $CI_{n,j} = \hat{\theta}_{n,j}(K) \pm 1.96 \hat{\sigma}_{n,j}(K)/\sqrt{n}$  for  $j = 1, 2$
    - $\hat{\sigma}_{n,j}^2(K)$  estimador para  $\sigma^2$
2. Simulaciones:
  - Sí  $\text{DML1} \sim \text{DML2}$  ....
  - .... pero también  $\text{DML2} > \text{DML1}$

# Outline

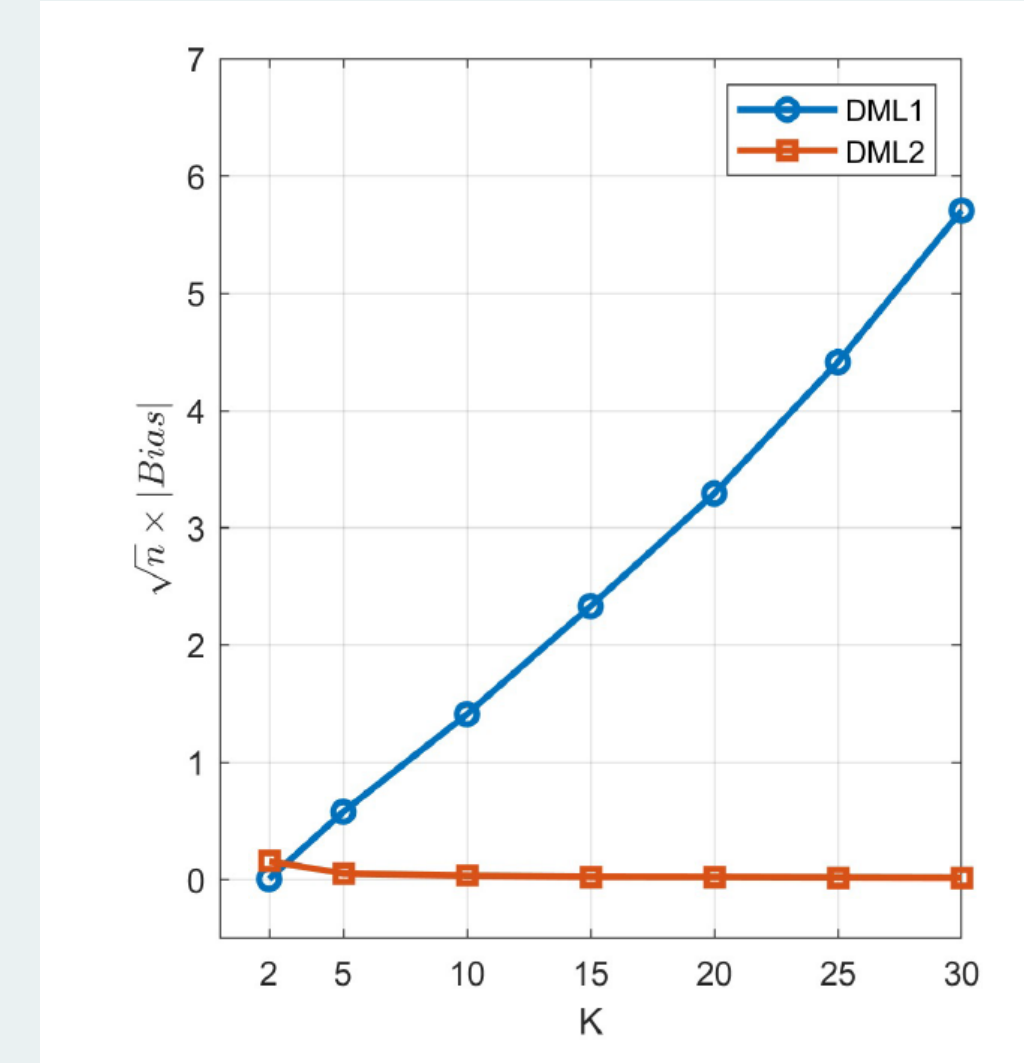
- Setup y notación
- Simulaciones
- Resultados principales
  - Por que y cuando  $DML2 \succeq DML1$
  - Como seleccionar K para DML2
- Conclusiones

# $\sqrt{n} |\text{Bias}|$ (sesgo)



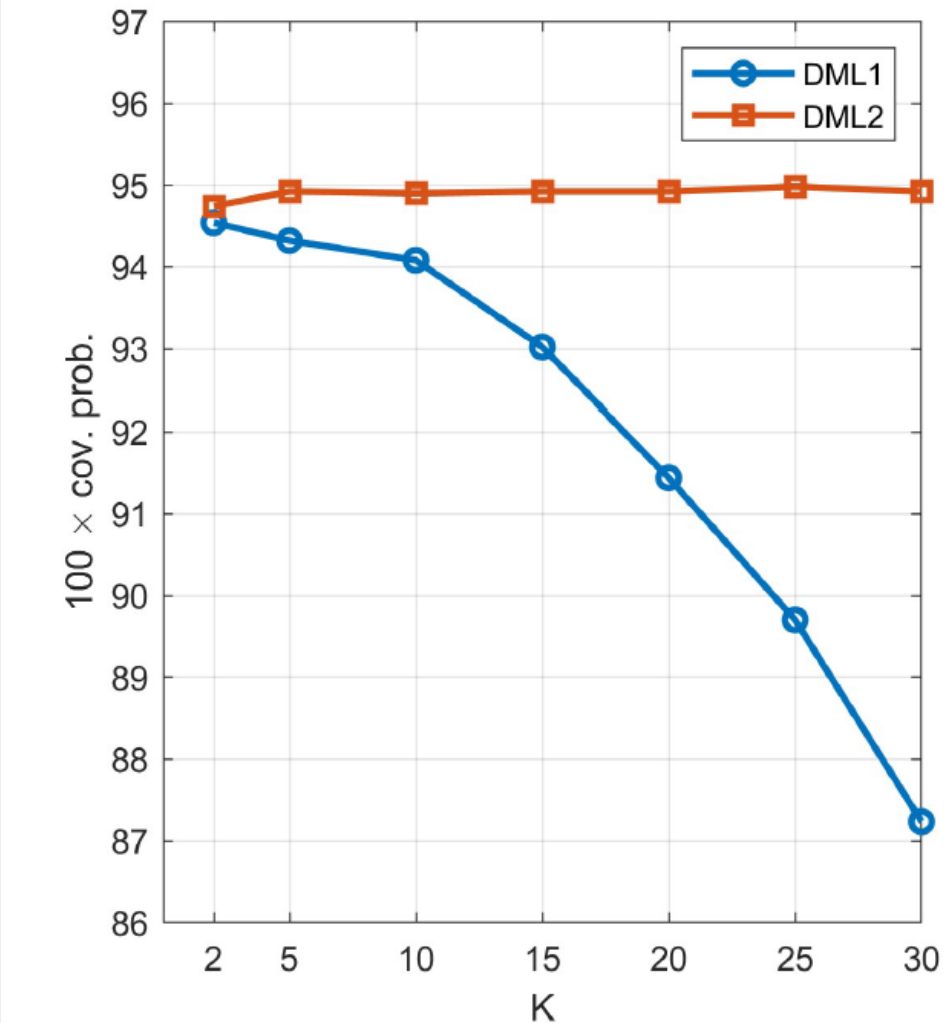
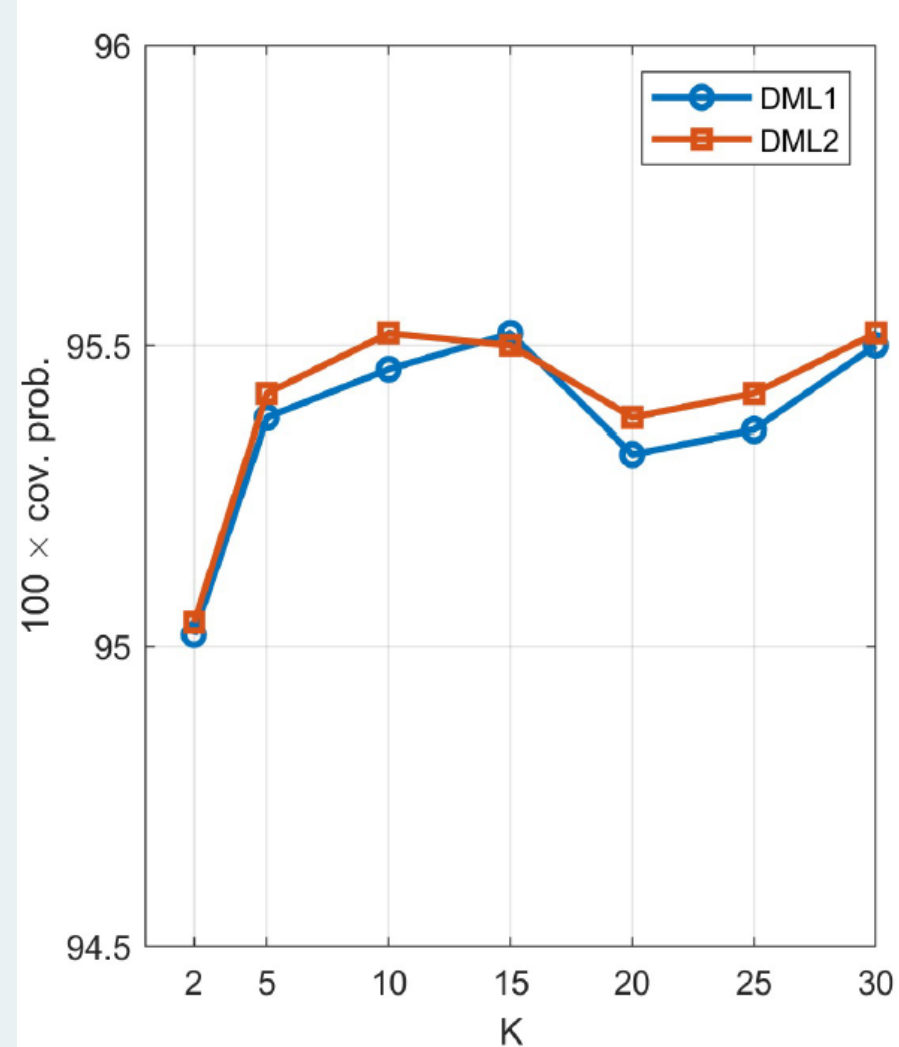
12

Modelo 1: ATT-DID, Sant'Anna & Zhao (2020)



Modelo 2: LATE, Hong and Nekipelov (2010)

# Probabilidad de cobertura (en %) de los ICs



# Comentarios

1. Simulaciones adicionales muestran:
  - $DML1 \sim DML2$ :
    - ATE, ATT, ATT-DID, PLM
  - $DML2 > DML1$ 
    - LATE, w-ATE, IV-PLM
2. Chernozhukov et al (2018) recomienda en su Remark 3.1 usar DML2
  - Stata package **ddml** (Ahrens et al. 2024) & R/python package DoubleML usan DML2

Este trabajo/paper:

- Explicación teórica  $DML2 \succeq DML1$
- Condiciones para seleccionar K para DML2

# Outline

- Setup y notacion
- Simulaciones
- Resultados principales
  - Por que y cuando  $DML2 \succeq DML1$
  - Como seleccionar K para DML2
- Conclusiones

# Resultado principal para secuencias $K_n$

## Teorema 1 (DML1):

Sea  $\{K_n\}_{n \geq 1}$  una secuencia tal que (i)  $K_n \leq n$  y (ii)  $\lim_{n \rightarrow \infty} \frac{K_n}{\sqrt{n}} = \mathbf{c} \in [0, \infty)$ . Asumamos que los supuestos de mi *paper* se cumplen. Entonces,

$$n^{1/2}(\widehat{\boldsymbol{\theta}}_{n,1}(K_n) - \boldsymbol{\theta}_0) \xrightarrow{d} N(\Lambda \mathbf{c}, \sigma^2)$$

donde

$$\Lambda = \frac{\text{Cov}[\mathbf{m}(\mathbf{W}_i, \boldsymbol{\theta}_0, \boldsymbol{\eta}_i), -\boldsymbol{\psi}^a(\mathbf{W}_i, \boldsymbol{\eta}_i)]}{E[\boldsymbol{\psi}^a(\mathbf{W}_i, \boldsymbol{\eta}_i)]^2}$$

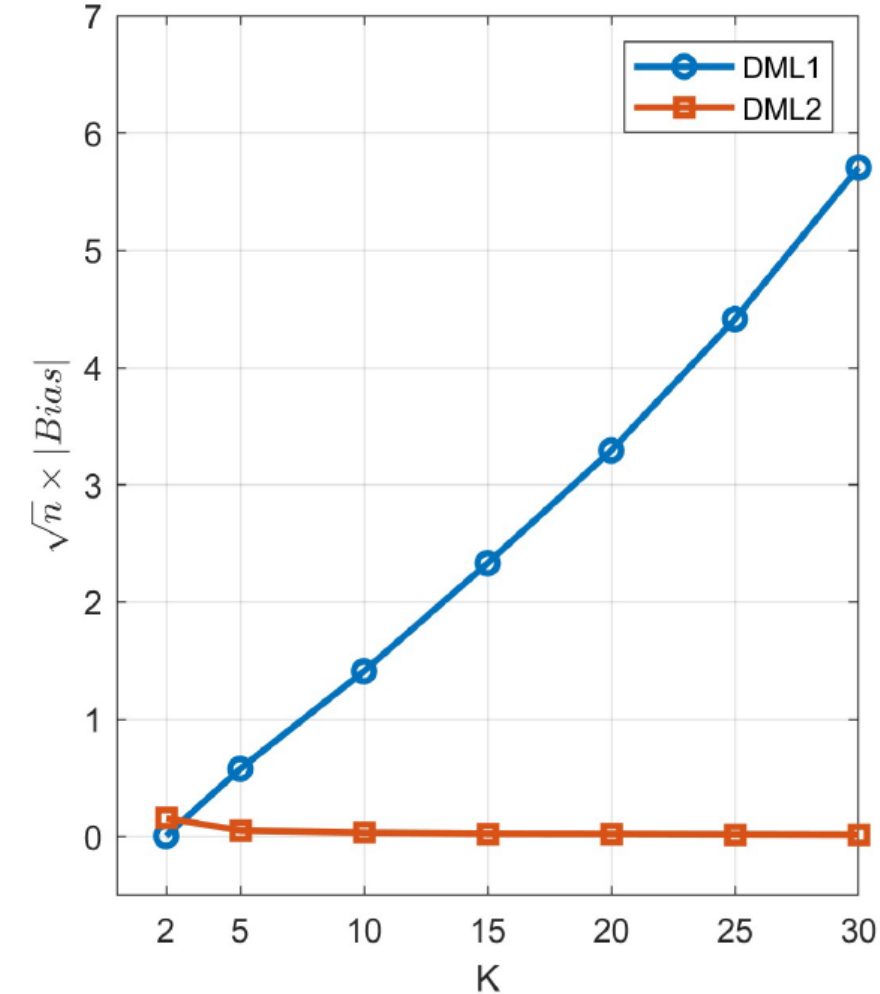
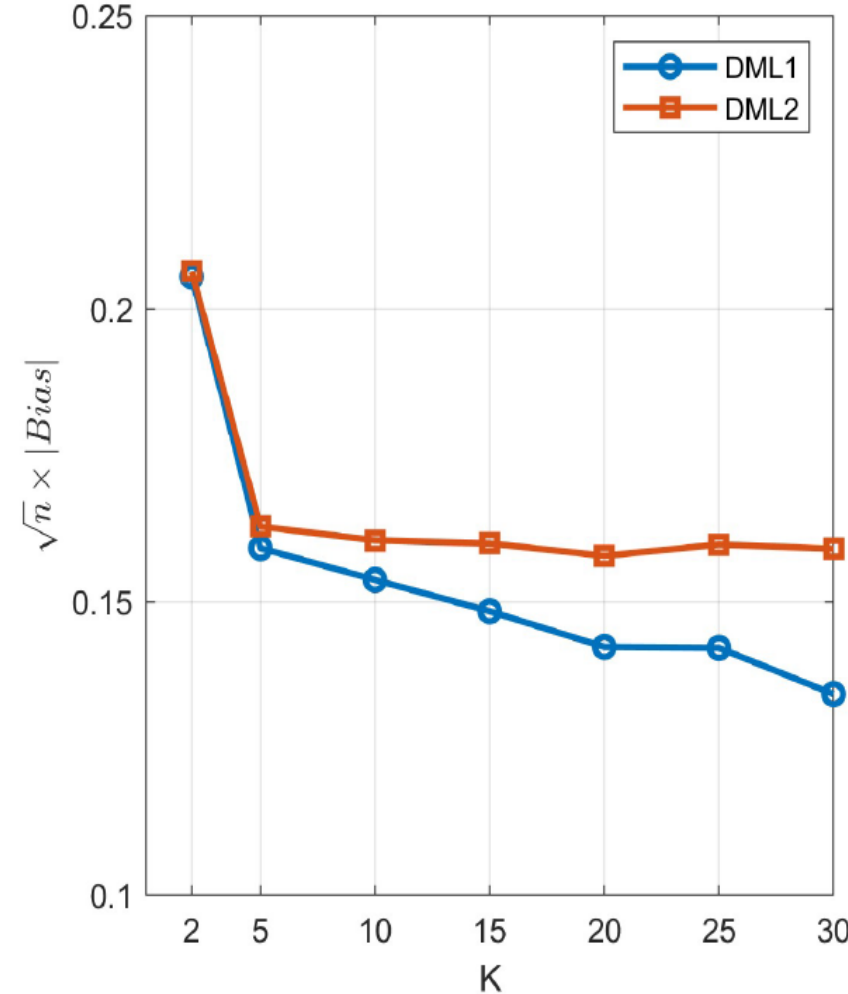
## Teorema 2 (DML2):

Sea  $\{K_n\}_{n \geq 1}$  una secuencia tal que  $K_n \leq n$ . Asumamos que los supuestos de mi *paper* se cumplen. Entonces,

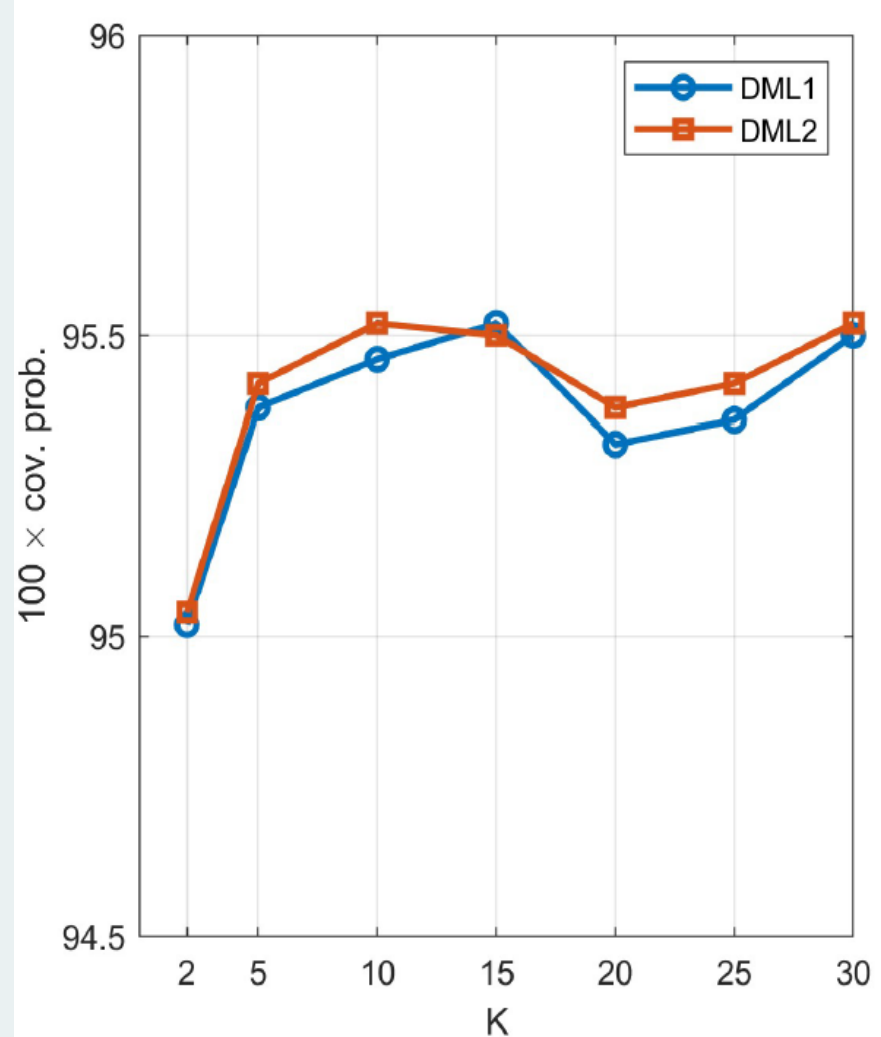
$$n^{1/2}(\widehat{\boldsymbol{\theta}}_{n,2}(K_n) - \boldsymbol{\theta}_0) \xrightarrow{d} N(0, \sigma^2)$$

- $\Lambda$  y  $\mathbf{c}$  explican  $\text{DML2} \succeq \text{DML1}$  y cuando  $\text{DML2} \succ \text{DML1}$
- Calculo de  $\Lambda$  solo depende del modelo econométrico; y podemos usar  $\mathbf{c} \approx K_n/\sqrt{n}$

$$\sqrt{n}|\text{bias}| \text{ de DML1 es } \approx |\Lambda|c \approx |\Lambda| K/\sqrt{n}$$

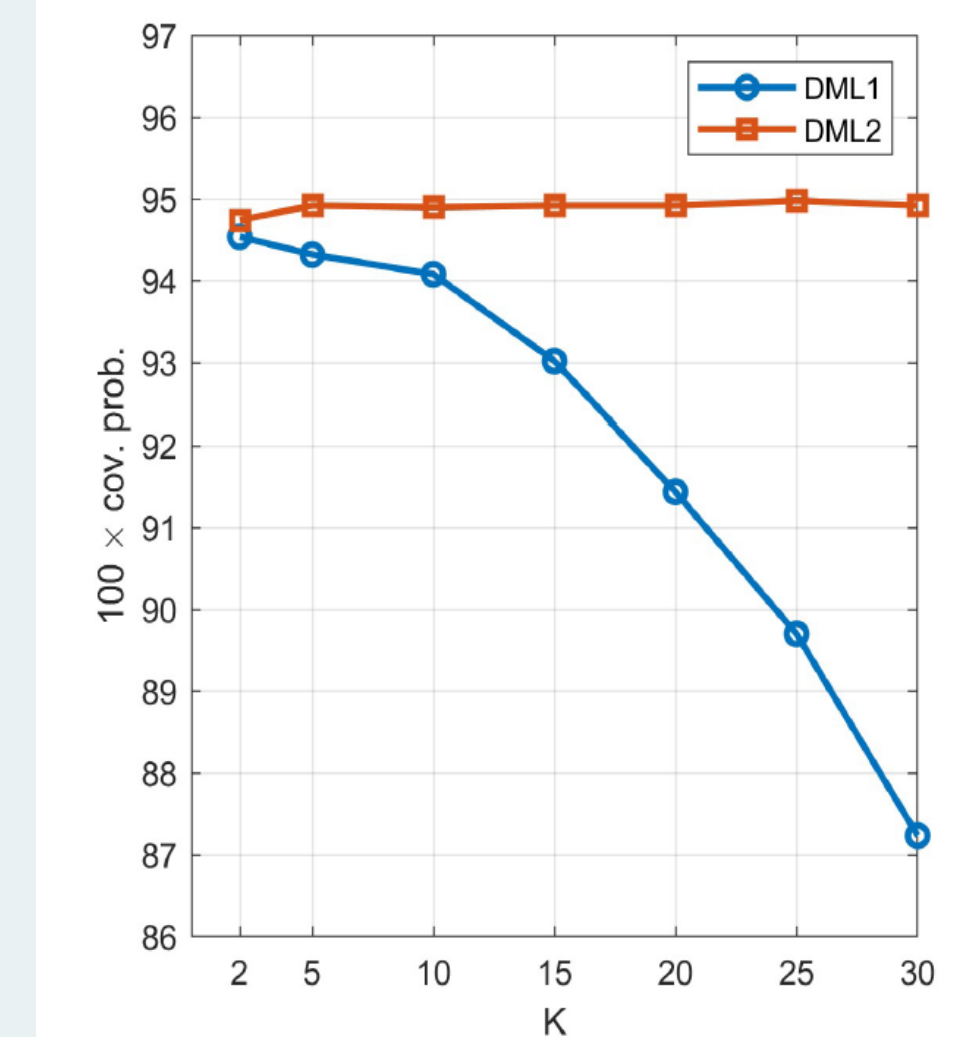


Distribución de DML1  $\approx N(\Lambda K / \sqrt{n}, \sigma^2)$



18

Modelo 1: ATT-DID ( $\Lambda = 0$ )



Modelo 2: LATE ( $\Lambda \neq 0$ )

# Observaciones importantes

$$\Lambda = \frac{\text{Cov}[\mathbf{m}(\mathbf{W}_i, \boldsymbol{\theta}_0, \boldsymbol{\eta}_i), -\psi^a(\mathbf{W}_i, \boldsymbol{\eta}_i)]}{E[\psi^a(\mathbf{W}_i, \boldsymbol{\eta}_i)]^2}$$

1.  $\Lambda$  es importante para explicar  $\text{DML2} \geq \text{DML1}$  en simulaciones (tomando  $\mathbf{c} \approx \mathbf{K}_n/\sqrt{n}$ )
  - $\Lambda$  puede ser calculado para distintos modelos econométricos:
    - ATE, ATT, ATT-DID, y PLM tienen  $\Lambda = \mathbf{0} \Rightarrow \text{DML2} \sim \text{DML1}$
    - LATE, w-ATE, y IV-PLM tienen  $\Lambda \neq \mathbf{0} \Rightarrow \text{DML2} > \text{DML1}$
2. Además,
  - DML2 es robusto a la elección de K:  $n^{1/2}(\widehat{\boldsymbol{\theta}}_{n,2}(\mathbf{K}_n) - \boldsymbol{\theta}_0) \xrightarrow{d} N(0, \sigma^2)$
  - los intervalos de confianza usando DML2 continúan validos

⇒ Inferencia usando DML2 es valida y robusta a la elección de K

# Outline

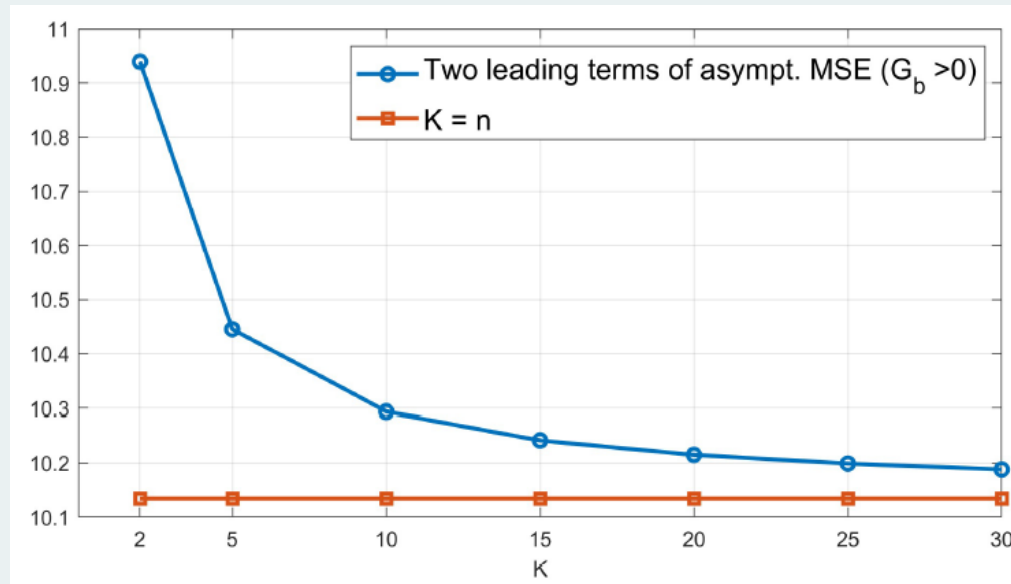
- Setup y notacion
- Simulaciones
- Resultados principales
  - Por que y cuando  $DML2 \geq DML1$
  - Como seleccionar K para DML2
- Conclusiones

# Aproximación de 2do-orden

$$E \left[ n \underbrace{(\widehat{\theta}_{n,2}(K_n) - \theta_0)^2}_{n \times \text{ECM}} \right] \approx \sigma^2 + G_b \left( 1 + \frac{1}{K_n - 1} \right)^{2\varphi-1/2} n^{1/2-2\varphi} + o(n^{1/2-2\varphi})$$

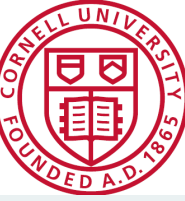
Aproximación de **segundo orden** del ECM (SO-ECM)

Asumimos  $\widehat{\eta}$  tiene estructura tal que  $\|\widehat{\eta} - \eta_0\|_2 = O(n^{-\varphi})$ , donde  $\varphi \in (\frac{1}{4}, \frac{1}{2})$



⇒ DML2 con  $K_n = 10$  mas preciso que DML2 con  $K_n = 5$

⇒ DML2 con  $K_n = n$  mas preciso que DML2 con cualquier  $K_n$  constante



# Conclusiones

- Este trabajo estudia DML1 y DML2 bajo una nueva teoría asintótica (secuencias  $K_n$ )
- Explica las diferencias encontradas en simulaciones
  - Introduce el parámetro  $\Lambda$
- Brinda dos razones para elegir DML2 sobre DML1
  - DML2 domina asintóticamente a DML1 en términos de bias, MSE, e inferencia
  - DML2 es robusto a la selección de  $K$
- Bajo ciertas condiciones adicionales, se recomienda seleccionar  $K=n$  para DML2

Gracias por su atención!